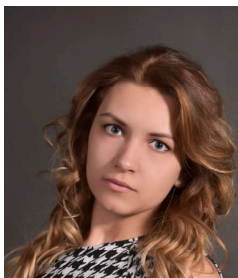


## МАТЕМАТИЧЕСКОЕ И ПРОГРАММНОЕ ОБЕСПЕЧЕНИЕ КОМПЬЮТЕРНОГО МОНИТОРИНГА ОСТАТОЧНОГО РЕСУРСА ЭЛЕМЕНТОВ ВЫСОКОТЕМПЕРАТУРНОГО ОБОРУДОВАНИЯ



### Остроухова Татьяна Сергеевна

Студентка 4 курса, факультета информационных технологий, кафедры «Инфокогнитивные технологии», Направление подготовки 09.03.01 «Информатика и вычислительная техника», Образовательная программа «Интеграция и программирование в САПР» Московского политехнического университета.



### Луганцев Леонид Дмитриевич

доктор технических наук, профессор, профессор кафедры «Инфокогнитивные технологии», факультет информационных технологий Московского политехнического университета.

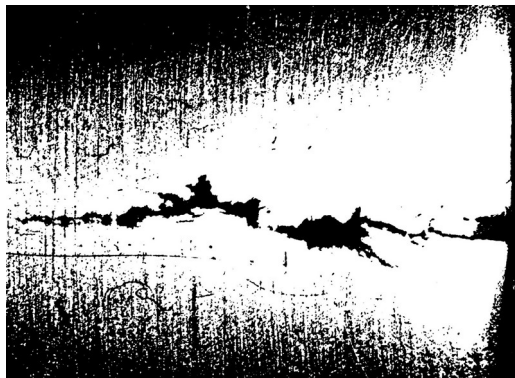
**Аннотация:** На основе теории нестационарной ползучести излагается метод и алгоритм численного анализа несущей способности и ресурса трубчатых элементов конструкций, оборудования, работающих в условиях нестационарного термосилового воздействия.

**Ключевые слова:** трубчатый элемент, термомеханическое воздействие, ползучесть, несущая способность, остаточный ресурс.

**Abstract:** Based on the theory of unsteady creep, a method and algorithm for the numerical analysis of the bearing capacity and resource of tubular structural elements and equipment operating under conditions of unsteady thermo-force action are described.

**Keywords:** tubular element, thermomechanical action, creep, bearing capacity, residual life.

Работоспособность и надежность рассматриваемого оборудования во многом определяется ресурсом трубчатых элементов, работающих в условиях высоких температур. Повышенные рабочие температуры вызывают деформации ползучести. Постепенно развивающиеся процессы вязкоупругого течения конструкционного материала могут привести к внезапным отказам (рис. 1). Практическая невозможность мониторинга остаточного ресурса с помощью неразрушающих средств контроля определяет акту-



**Рис.1.** Магистральная трещина в основном металле реакционной трубы из стали типа 45X25H20С печи конверсии углеводородов на производстве аммиака, НАК «АЗОТ» г. Новомосковск

альность развития методов компьютерного анализа процессов ползучести материала, основанных на положениях механики вязкоупругой сплошной среды.

Рассматриваем трубчатый элемент, представляющий собой круговую тонкостенную цилиндрическую оболочку. Радиус оболочки –  $r$ , толщина стенки –  $h$ . Трубчатый элемент нагружен внутренним дав-

лением  $q$ , осевым усилием  $N_s$ , распределённым по торцу оболочки, и нагрет до температуры  $T$ . Температурное поле считаем симметричным и постоянным по длине цилиндра. Силовые нагрузки и температура не изменяются во времени. Однако параметры напряженно-деформированного состояния и геометрические размеры рассматриваемого изделия с течением времени изменяются в силу необратимых деформаций ползучести.

При построении математической модели кинетики процесса ползучести вводим параметр  $\tau$ , определяющий развитие процесса нагружения изделия. Рассмотрим напряженно-деформированное состояние трубчатого элемента в момент времени  $\tau$ . Напряжения в оболочке определяются уравнениями безмоментной теории оболочек:

$$\sigma_s = \frac{N_s}{h}, \quad \sigma_t = \frac{qr}{h}, \quad \sigma_z = 0. \quad (1)$$

Скорость изменения напряжений в процессе ползучести

$$\begin{aligned} \frac{d\sigma_s}{d\tau} &= -\sigma_s \frac{d\varepsilon_z}{d\tau}, \\ \frac{d\sigma_t}{d\tau} &= -\sigma_t \left( \frac{d\varepsilon_t}{d\tau} - \frac{d\varepsilon_z}{d\tau} \right), \\ \frac{d\sigma_z}{d\tau} &= 0. \end{aligned} \quad (2)$$

Уравнения вязкоупругого деформирования конструкционного материала, связывающие скорости изменения напряжений и деформаций, определяются обобщённым законом Гука с учётом деформаций ползучести:

$$\begin{aligned} \frac{d\varepsilon_s}{d\tau} &= \frac{1}{E} \left( \sigma_s \frac{d\sigma_s}{d\tau} - \mu \frac{d\sigma_t}{d\tau} \right) + \frac{d\varepsilon_s^c}{d\tau}, \\ \frac{d\varepsilon_t}{d\tau} &= \frac{1}{E} \left( \sigma_s \frac{d\sigma_t}{d\tau} - \mu \frac{d\sigma_s}{d\tau} \right) + \frac{d\varepsilon_t^c}{d\tau}, \\ \frac{d\varepsilon_z}{d\tau} &= -\frac{\mu}{E} \left( \frac{d\sigma_s}{d\tau} + \frac{d\sigma_t}{d\tau} \right) + \frac{d\varepsilon_z^c}{d\tau}. \end{aligned}$$

Через промежуток времени  $d\tau$  толщина стенки элемента изменится на величину  $dh = h \cdot d\varepsilon_z$ , а радиус цилиндрической оболочки изменится на величину  $dr = r \cdot d\varepsilon_t$ . Таким образом,

$$\frac{dh}{d\tau} = h \frac{d\varepsilon_z}{d\tau}, \quad \frac{dr}{d\tau} = r \frac{d\varepsilon_t}{d\tau}. \quad (4)$$

Рассматривая совместно уравнения (2) – (4), после алгебраических преобразований получим следующую систему дифференциальных уравнений:

$$\begin{aligned} \frac{dh}{d\tau} &= h \cdot \frac{3\nu_i^c}{2\sigma_i} \left[ \left( 1 + \mu \frac{\sigma_s}{E} - \mu \frac{\sigma_t}{E} \right) s_z - \mu \frac{\sigma_t}{E} s_t \right], \\ \frac{dr}{d\tau} &= r \cdot \frac{3\nu_i^c}{2\sigma_i} \left[ \left( 1 + \frac{\sigma_t}{E} \right) s_t - \left( -\mu \frac{\sigma_s}{E} + \frac{\sigma_t}{E} \right) s_z \right], \end{aligned} \quad (5)$$

$$\frac{d\sigma_s}{d\tau} = -\sigma_s \cdot \frac{3\nu_i^c}{2\sigma_i} \left[ \left( 1 + \mu \frac{\sigma_s}{E} - \mu \frac{\sigma_t}{E} \right) s_z - \mu \frac{\sigma_t}{E} s_t \right]$$

$$\frac{d\sigma_t}{d\tau} = \sigma_t \cdot \frac{3\nu_i^c}{2\sigma_i} \left[ \left( 1 + (1 + \mu) \frac{\sigma_t}{E} \right) s_t - \left( 1 - (1 - \mu) \frac{\sigma_t}{E} \right) s_z \right]$$

Согласно общим положениям теории ползучести [1] при сложных напряженных состояниях компоненты скорости ползучести пропорциональны компонентам девиатора напряжений:

$$\frac{d\varepsilon_s}{d\tau} = \frac{3S_s}{2\sigma_i} \nu_i^c, \quad \frac{d\varepsilon_t}{d\tau} = \frac{3S_t}{2\sigma_i} \nu_i^c, \quad \frac{d\varepsilon_z}{d\tau} = \frac{3S_z}{2\sigma_i} \nu_i^c, \quad (6)$$

где  $S_s, S_t, S_z$  – компоненты девиатора напряжений;

$\sigma_i$  – интенсивность напряжений;  $\nu_i^c = f(\sigma_i, T)$  – интенсивность скорости деформаций ползучести.

Уравнения (5) и (6) образуют замкнутую систему дифференциальных уравнений относительно параметров состояния трубчатого элемента  $h, r, \sigma_s, \sigma_t,$

$\varepsilon_s^c, \varepsilon_t^c, \varepsilon_z^c$  с начальными условиями:

$$\begin{aligned} h(0) &= h_0; \quad r(0) = r_0; \quad \sigma_s(0) = \frac{N_s}{h_0}; \\ \sigma_t(0) &= \frac{qr_0}{h_0}, \quad \varepsilon_s^c(0) = 0, \quad \varepsilon_t^c(0) = 0, \\ \varepsilon_z^c(0) &= 0 \quad (7) \end{aligned}$$

Систему уравнений (5), (6) с начальными условиями (9) можно рассматривать как математическую модель кинетики процесса вязкоупругого деформирования исследуемой конструкции при комбинированном силовом и температурном воздействии.

Алгоритм расчета сводится к решению задачи Коши для системы дифференциальных уравнений (5), (6) с начальными условиями (7). В результате численного анализа находим значения параметров состояния трубчатого элемента во всех узловых точках процесса нагружения на заданном интервале изменения временного параметра  $\tau$ , получая в результате полное описание кинетики вязкоупругого деформирования изделия.

Предельное состояние конструкции определяем по величине интенсивности накопленной деформации ползучести  $\varepsilon_i^c$ . В качестве предельно допустимой величины интенсивности деформаций ползуче-

сти принимаем величину  $\varepsilon_{i\text{kp}}^c = 0,03 - 0,05$ . При таких значениях деформаций существенно возрастает ве-

роятность возникновения трещин в конструкционном материале.

Располагаемый ресурс изделия характеризуется

временным интервалом  $[0, \tau_{kp}]$ , где  $\tau_{kp}$  – момент времени, когда исследуемая конструкция достигает предельного состояния, и выполняется условие

$$\varepsilon_i^c = \varepsilon_{i\text{кр}}^c$$

Для определения ресурса изделия  $\tau_{kp}$  используем сочетание шагового метода [2] с последующим уточнением по методу хорд. При этом на каждом шаге выполняем решение задачи Коши (5) – (7), затем вычисляем интенсивность накопленной деформации ползучести:

$$\varepsilon_i^c = \frac{\sqrt{2}}{3} \sqrt{(\varepsilon_s^c - \varepsilon_t^c)^2 + (\varepsilon_t^c - \varepsilon_z^c)^2 + (\varepsilon_z^c - \varepsilon_s^c)^2}$$

и проверяем условие  $\varepsilon_i^c = \varepsilon_{i\text{кр}}^c$ .

Предложенный метод реализован в виде программного обеспечения. Программный комплекс «CreepingTube» имеет модульную структуру, функционирует в операционных системах Windows 7/10. Позволяет выполнять численный анализ несущей способности и располагаемого ресурса высокотемпературных трубчатых элементов, прогнозировать их долговечность в условиях нестационарного силового и температурного воздействия.

Программный продукт «CreepingTube» применяли для расчета реакционных труб печи конверсии метана на производстве аммиака. Диаметр труб  $D = 115$  мм, толщина стенки  $h = 10$  мм. Давление парогазовой смеси в трубах  $q = 3,6$  МПа, температура  $T_0 = 930$  °С. Конструкционный материал – сталь 45Х25Н20С. Параметры математической модели ползучести для стали:  $C = 1,3 \cdot 10^{11}$  1/ч;  $n = 4,1$ ;  $\Delta H = 2,9 \cdot 10^5$  Дж/моль;

предел текучести при 20 °С  $\sigma_0 = 240$  МПа.

Относительное увеличение диаметра трубчатого элемента в течение времени показано на рис.2. Интенсивность деформации изображена на графике

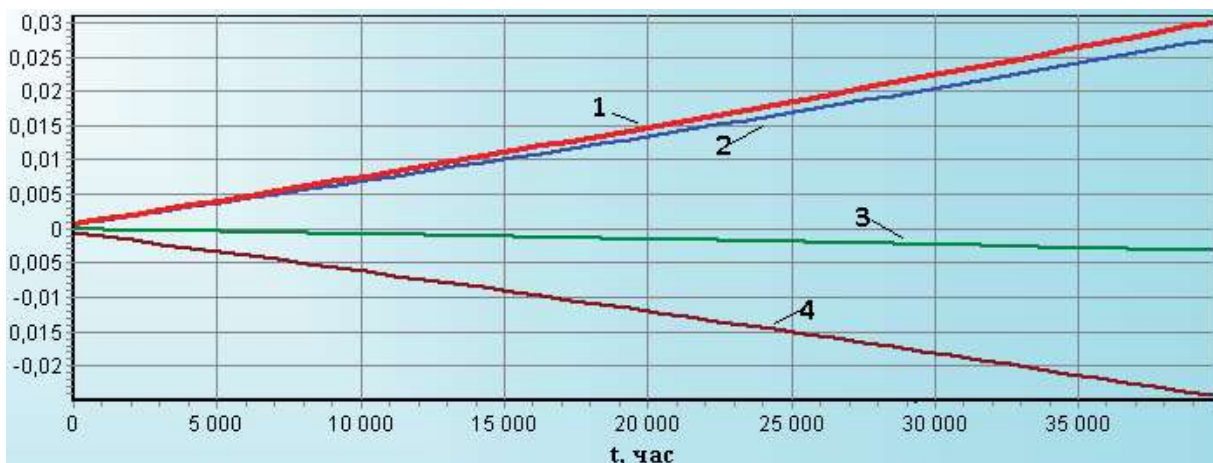


Рис.2. Деформации ползучести трубчатого элемента

1, осевые, кольцевые и радиальные деформации изображены на графиках 2, 3, 4 соответственно.

На рис.3 показано относительное изменение ди-

аметра  $\frac{\Delta D}{D_0}$  трубчатого элемента в процессе развития деформаций ползучести.

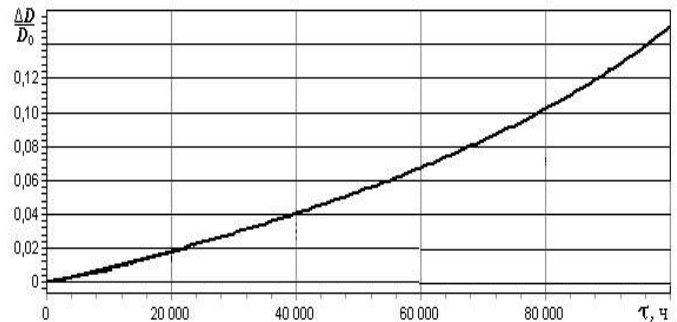


Рис.3. Деформации ползучести трубчатого элемента

Толщина стенки трубы в процессе ползучести

уменьшается:  $\frac{\Delta h}{h_0} = - \frac{\Delta D}{D_0}$ . Принимая предельно до-

пустимое значение  $\frac{\Delta D}{D_0} = 0,05$ , находим ресурс из-

делия  $\tau_{kp} = 50\ 000$  ч. Скорость деформаций ползучести в конце срока службы изделия увеличивается в 1,5 раза по сравнению с первоначальной скоростью.

На рис. 4 изображен график величины поврежденный трубчатого элемента.

На рис. 5 представлены графики напряжения в трубчатом элементе. Интенсивность напряжений изображена на графике 2, кольцевые и радиальные напряжения изображены на графиках 1 и 3 соответственно.

Таким образом, предложенный метод численного анализа процессов ползучести трубчатых элементов

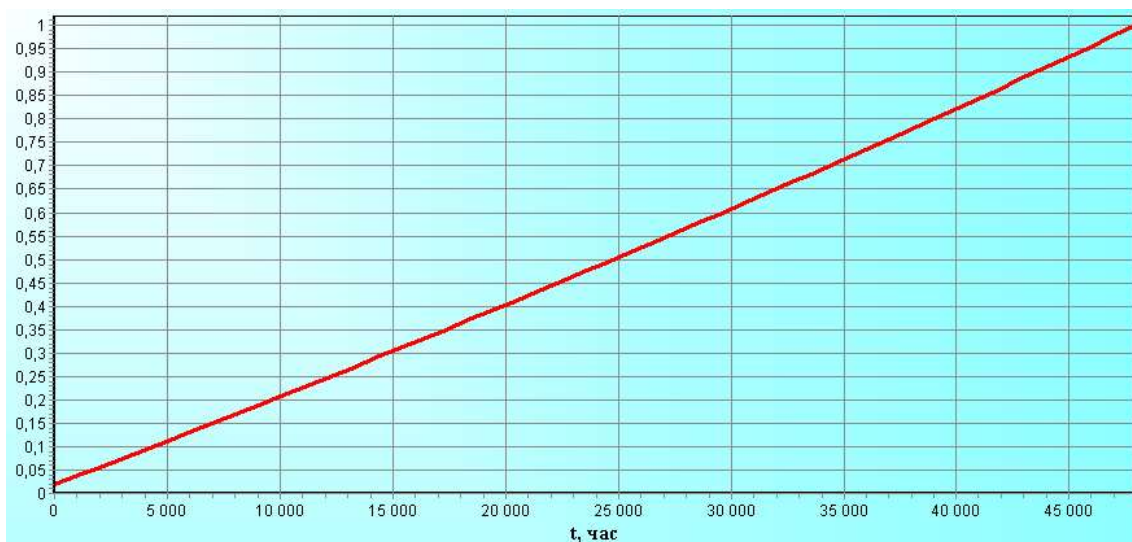


Рис.4. Величина повреждений трубчатого элемента

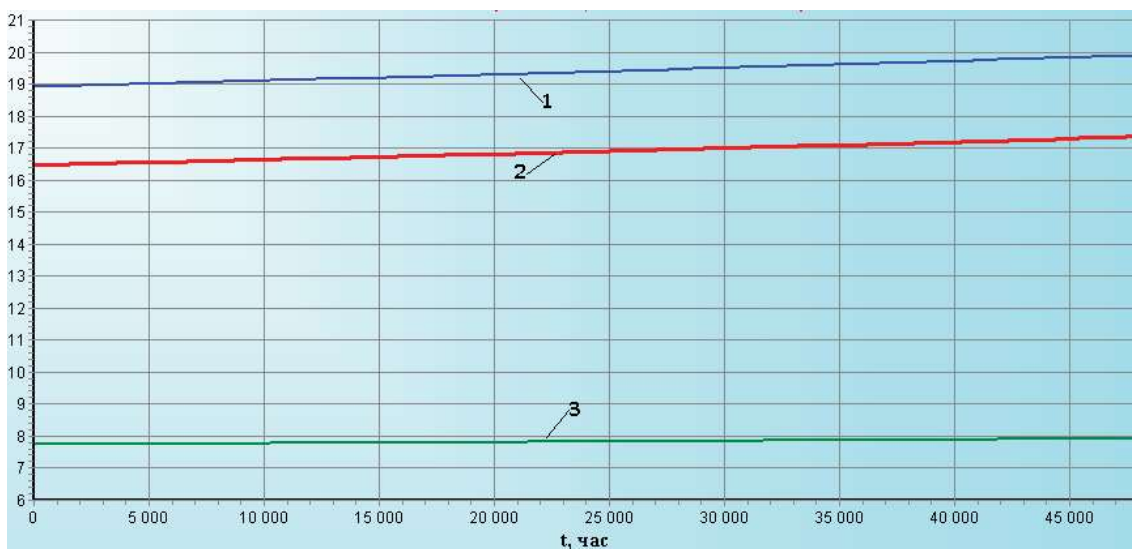


Рис.5. Напряжения в трубчатом элементе

позволяет прогнозировать долговечность изделий, выполнять компьютерный мониторинг несущей способности и располагаемого ресурса высокотемпературного оборудования в условиях нестационарного силового и температурного воздействия.

#### Список литературы:

1. Малинин Н.Н. Прикладная теория пластично-

сти и ползучести // М.: Машиностроение, 1975. 400 с.

2. Коростылёв А.В., Луганцев Л.Д. Моделирование процесса ползучести реакционных труб печей конверсии углеводородных газов. – Заводская лаборатория. Диагностика материалов, 2009, т. 75. № 11, с.52-54.

3. Биргер И.А. Термопрочность деталей машин. М.: Машиностроение, 1975. – 455 с.